



ADAK RAPPORT 24

# Romeinse waterputten aan de Lindelaan in Beerse

S. SCHELTJENS & S. DELARUELLE

De Archeologische dienst Antwerpse Kempen maakt deel uit van de projectvereniging Erfgoed Noorderkempen tussen de gemeenten Baarle-Hertog, Beerse, Kasterlee, Oud-Turnhout, Turnhout en Vosselaar met steun van de Vlaamse gemeenschap en de provincie Antwerpen.



## Colofon

Opdrachtgever	Domestic NV
Project	Beerse - Lindenlaan
Type onderzoek	Prospectie en opgraving
Vergunningsnummers	2008/274; 2008/275; 2009/383
Vergunningshouders	Stephan Delaruelle; Sofie Scheltjens
Projectcode	08021 en 10002
Auteurs	Sofie Scheltjens & Stephan Delaruelle
Redactie	Stephan Delaruelle & Jef Van Doninck
Kaarten & plannen	Stephan Delaruelle (©NGI/GIS Vlaanderen)
Foto's & tekeningen	Sofie Scheltjens, Catherina Thijs & Bart De Smaele
Omslagontwerp	Hanna Maes
ISBN	/

© AdAK , mei 2010

---

*Niets uit deze uitgave mag worden veelevoudigd en/of openbaar gemaakt door middel van druk, fotokopie, microfilm of op welke andere wijze dan ook, zonder voorafgaande schriftelijke toestemming van de Archeologische Dienst Antwerpse Kempen.*

---

## *Samenvatting*

Van 22 februari tot en met 24 februari 2010 werd door de Archeologische dienst Antwerpse Kempen (AdAK) in opdracht van ontwikkelaar Domestic NV een archeologisch onderzoek uitgevoerd in het centrum van Beerse op de hoek van de Lindenlaan en Melkerijstraat. Dit onderzoek kadert in de ontwikkeling van een meergezinswoning met 24 woonentiteiten en een bankfiliaal met ondergrondse parkeergarage.

Het doel van het onderzoek betrof het opgraven van de archeologische resten die door de geplande bouwwerken zouden verstoord worden. Hiertoe werd langs de noordelijke en westelijke zijde van het plangebied een werkput aangelegd met een totale oppervlakte van 769 m<sup>2</sup>, waarbij enkele sporen vastgesteld tijdens het proefsleuvenonderzoek aangesneden werden.

Tijdens het archeologisch onderzoek zijn verspreid over het gehele terrein een totaal van twaalf sporen gedocumenteerd. Wel bleek dat er een sterk uitgesproken hoogteverschil bestond tussen het zuidelijke gedeelte van het terrein en het noordelijke gedeelte, dat gerelateerd is aan de microcuesta. Ter hoogte van de lagere terreingedeeltes, waar ook de waterputten zich bevonden, was het oorspronkelijke niveau afgedekt door een verstoven of afgegleden pakket zand. De hogere gedeeltes van het terrein daarentegen waren grotendeels verstoord en afgetopt door de vroegere bebouwing, zodat hier alleen nog recentere sporen konden worden vastgesteld.

Uit het onderzoek van beide archeologisch relevante sporen bleek dat het hier enerzijds om een ovale waterput gaat, die op zijn beurt wordt oversneden door een grotere waterkuil. Op basis van aardewerkvondsten in de vulling konden beide sporen in de Romeinse tijd worden gedateerd. In de waterput bevond zich een groot aandeel aan handgevormde scherven naast verschillende fragmenten van dolia, die eerder een datering in de vroeg-Romeinse periode doen vermoeden. Het aardewerk uit de waterkuil vertoont nagenoeg het volledige spectrum aan gedraaid Romeins aardewerk dat in deze regio voorkomt, op basis waarvan eerder een datering in de 2<sup>de</sup> of begin 3<sup>de</sup> eeuw kan worden vermoed.

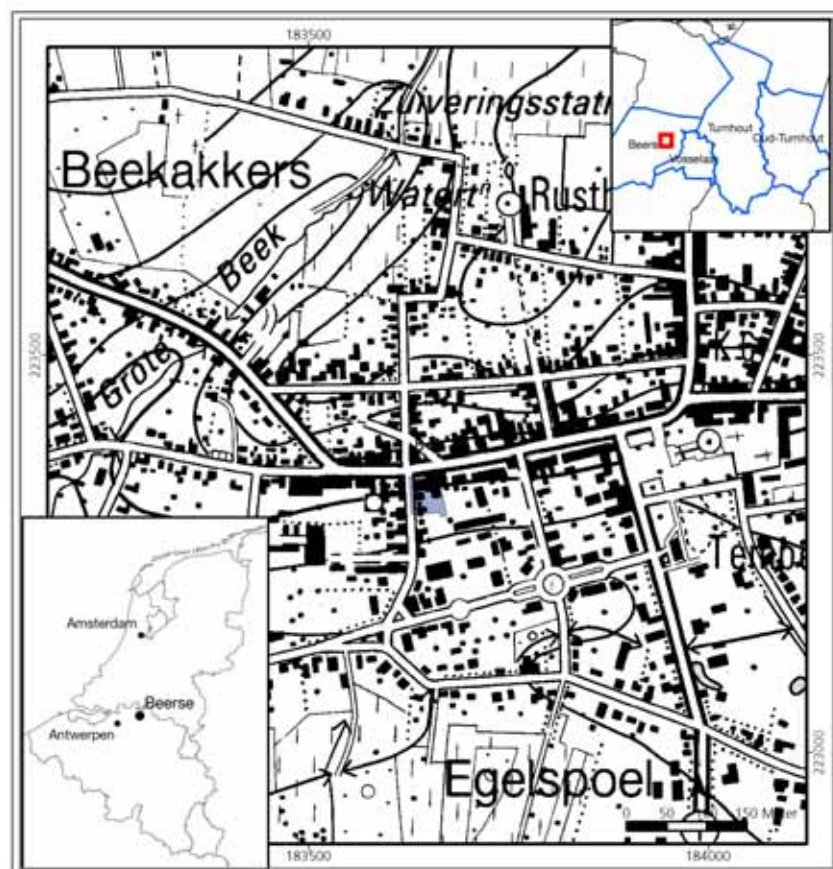
De archeologische resten wijzen op de aanwezigheid van rurale bewoning tijdens de Late IJzertijd (circa 250 tot 50 v. Chr.) en de Romeinse periode. Deze bevindt zich vermoedelijk verder ten noorden ter hoogte van de huidige Lindelaan en verder.

## *Inhoudsopgave*

1	Inleiding.....	5
2	Landschappelijk kader .....	6
2.1	Geologie en geomorfologie .....	6
2.2	Bodemopbouw .....	7
3	Historisch en archeologisch kader.....	9
3.1	Historisch kader .....	9
3.2	Archeologisch kader .....	10
3.2.1	Centraal Archeologische Inventaris .....	10
3.2.2	Proefsleuven.....	10
4	Onderzoeksstrategie.....	12
4.1	Methoden en technieken.....	12
4.2	Dataregistratie.....	13
5	Resultaten.....	14
5.1	Sporen en structuren.....	14
5.1.1	Ruimtelijke spreiding.....	14
5.1.2	Gaafheid en conservering .....	14
5.1.3	Periodes en sites.....	15
5.2	Vondsten.....	17
5.2.1	Handgevormd aardewerk .....	18
5.2.2	Romeins gedraaid aardewerk .....	20
6	Conclusie.....	21
7	Bibliografie.....	22
8	Lijst van figuren .....	23
9	Lijst van bijlagen .....	23

## 1 Inleiding

Van 22 februari tot en met 24 februari 2010 werd door de Archeologische dienst Antwerpse Kempen (AdAK) in opdracht van ontwikkelaar Domestic NV een archeologisch onderzoek uitgevoerd in het centrum van Beerse op de hoek van de Lindenlaan en Melkerijstraat, kadastraal bekend als Afdeling 1, Sectie C, percelen nr. 59/v, 59/z, 59a/2, 59/t, 61m/2 en 77p/2.. Dit onderzoek kadert in de ontwikkeling van een meergezinswoning met 24 woonentiteiten en een bankfiliaal met ondergrondse parkeergarage.



Figuur 1.1. Situering van het plangebied tussen Lindenlaan en Melkerijstraat te Beerse.

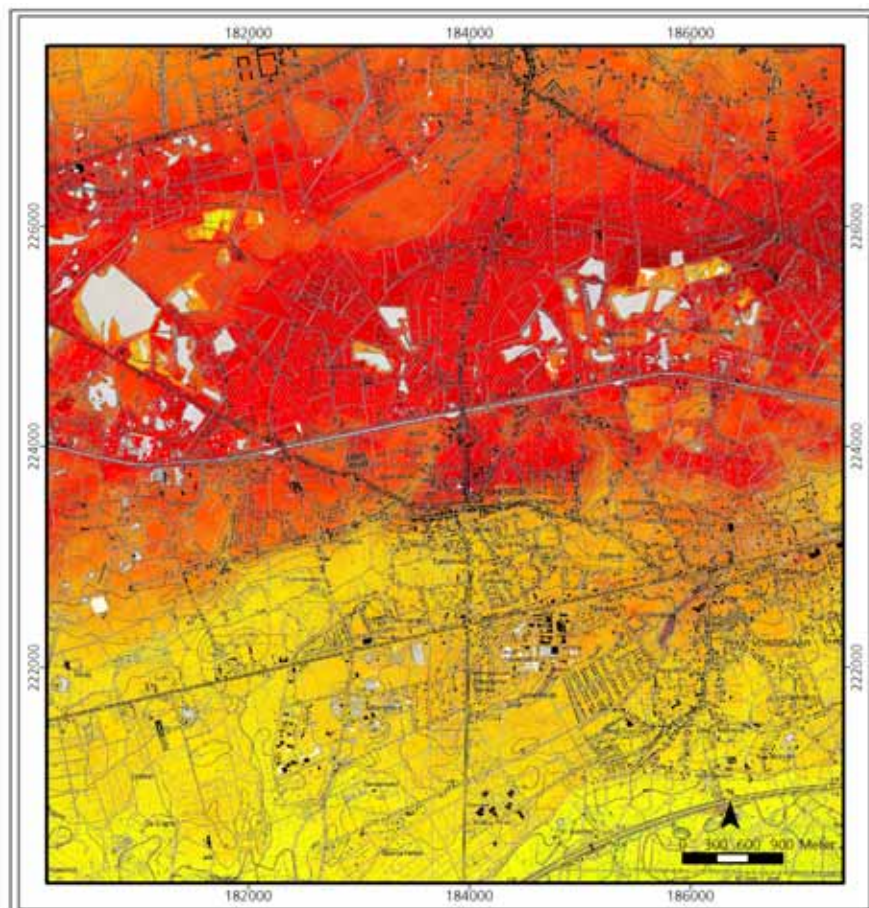
Tijdens de archeologische opgraving werd het plangebied onderzocht door middel van een vlakdekkende werkput. De zuidoostelijke zone werd niet opengelegd, aangezien deze ruimte ingericht zal worden als tuin en bijgevolg niet verstoord zal worden door graaf- en bouwwerken.

Het veldteam bestond uit Sofie Scheltjens, Catherina Thijs, Bart De Smaele, (projectarcheologen), Stephan Delaruelle (AdAK), Inge Sprangers (veldtechnicus) en Sebastiaan Genbrugge (vrijwilliger). De graafwerken werden uitgevoerd door Adams Polendam NV uit Beerse.

## 2 Landschappelijk kader

### 2.1 Geologie en geomorfologie

Het plangebied bevindt zich op de zuidelijke flank van de zogenaamde microcuesta, een oud-pleistocene kleiopduiking die is gevormd door kustvlakteaafzettingen in een getijdenzone. Deze formatie van ca. 30 m dikte omvat de kleien van de Kempen, nl. de Klei van Sint-Lenaerts/Rijkevorsel en de jongere Klei van Turnhout. Deze kleilagen worden onderling gescheiden door het Zand van Beerse. Deze steilrand (cuesta) vormt het interfluvium tussen het Schelde/Netebekken en het Beneden-Maasbekken en is te volgen vanaf Zandvliet langs Stabroek, Kapellen, over Braschaat, Schoten Schilde, Zoersel, Malle, Beerse, Vosselaar tot Turnhout. Voorbij Turnhout gaat de steilrand over in de uitlopers van het Kempense plateau. Ter hoogte van Beerse is deze opduiking minder steil en kan gesproken worden van een microcuesta.



Figuur 2.1. Situering van het centrum van Beerse op het Digitaal Hoogtemodel.

Tijdens de laatste ijstijd, het Weichseliaan (ca. 120.000-13.000 jaar geleden) is deze rug met zand afgedekt, dat door polaire wind werd aangevoerd vanuit de drooggevalen Noordzeebedding. Deze zandafzettingen werden tijdens de laatste koude fase, het Laat-Glaciaal (ca. 13.000-10.000 jaar geleden) door



verstuivingen van de tijdelijk onbevroren bodems omgewerkt tot lange oost-west georiënteerde zandruggen.

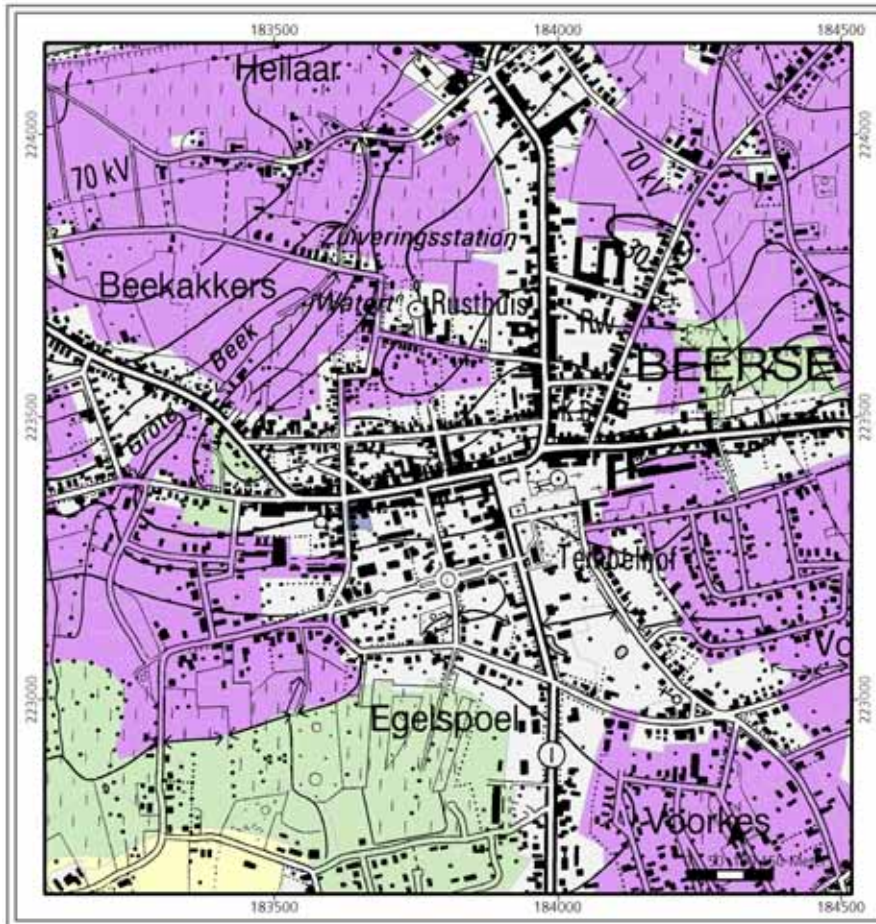
## 2.2 Bodemopbouw

De ondergrond van het plangebied te Beerse-Lindenlaan kent een slecht gedraineerde zandgrond, waarbij in de centrale zone bovendien klei op geringe diepte is aangetroffen. Deze terreinen zijn in gebruik geweest door vijf woningen met garages langs de noordzijde en door tuinen langs de zuidzijde.



Figuur 2.2. Bodemkundige opname van de drainageklasse in het plangebied.

De oorspronkelijke bodem van het plangebied situeert zich in een zone, welke gekenmerkt wordt door een zandbodem, die vermoedelijk ooit was afgedekt door een plaggendek of diepe antropogene humus A. Door de bouw en de sloop van de voormalige huizen en garages langs de Lindenlaan is de ondergrond hier verstoord en opgevuld met rijnzand. In het centrale gedeelte van de werkput wordt de helling van de microcuesta aangesneden, die naar het zuiden toe afloopt.



Figuur 2.3. Bodemkundige opname van de profielontwikkeling in het plangebied.

In het lagergelegen zuidelijke was het oorspronkelijke niveau afgedekt door een verstoven of afgegliden pakket zand.



Figuur 2.4. Profiel van de oostelijke sleufwand, ter hoogte van de proefsleuf.



### 3 Historisch en archeologisch kader

#### 3.1 Historisch kader

Het plangebied van de site Beerse-Lindenlaan wordt op de kaart van Ferraris (circa 1770-1777) gekenmerkt door enkele boerderijen en open akkerland, omgeven door heggen. Het terrein situeert zich ten westen van de kerk van Beerse en ten oosten van een houten molen. Aan de noordelijke en oostelijke zijde wordt het gebied begrensd door een onverharde weg met hagen, die van het gehucht De Baen via het centrum van Beerse loopt naar het gehucht Scheyltiens Eynde. Ten zuiden bevindt er zich Het Hofken, een door heggen en gracht omringd complex met akkers en gebouwen.



Figuur 3.1. Situering van het plangebied op de kaart van Vandermaelen (ca. 1846).

Heggen of houtwallen kenden verschillende functies in het landbouw-systeem tijdens de Late Middeleeuwen en Nieuwe Tijd, zoals het aanleveren van hout, het beschermen van de gewassen en de bodem, het bijdragen aan de ontwatering van de grond en het omheinen van het vee. Deze houtwallen werden niet uitsluitend op arealen met plaggenbodems aangelegd maar ook rond weiden en hooilanden in natte laagten (Mientjes 2005, p. 51).

De kaart van Vandermaelen (circa 1846) situeert het plangebied in een bebouwde zone ten westen van het centrum en ten zuidoosten van de molen. Rond het midden van de negentiende eeuw blijkt de kern van Beerse zich uitgebreid te hebben maar wordt het plangebied nog door weilanden en akkers omgeven. Ook is de omgrachte structuur van Het Hofken nog merkbaar in het toenmalige landschap.

### 3.2 *Archeologisch kader*

#### 3.2.1 Centraal Archeologische Inventaris

Aan de hand van enige meldingen in Centraal Archeologische Inventaris (CAI) wordt de occupatiegeschiedenis van het plangebied van Beerse-Lindenlaan gesitueerd vanaf omstreeks de Late Middeleeuwen. Echter, de toren van de Sint Lambertuskerk (CAI nr. 951959) in het centrum kent een oorsprong uit het einde van de twaalfde eeuw. De pastorie van de kerk (CAI nr. 951960), op de kaart van Ferraris aangeduid als het omgrachte Het Hofken, is gevestigd op het toponiem Tempelhof en dateert uit de Late Middeleeuwen. Ook de oorsprong van de Sint Corneliuskapel, meermaals hersteld en verbouwd, wordt gesitueerd in de Late Middeleeuwen.

De kaart van Ferraris uit de late achttiende eeuw verschaft een *terminus ante quem* voor de datering van enige gebouwen in de omgeving van het plangebied. De Houthoeve (CAI nr. 951958) en de Corsendonckse Hoeve (CAI nr. 951970) zijn alleenstaande boerderijen en zijn gevestigd op het toponiem Hout, waarbij gemeld wordt dat de huidige Houthoeve gebouwd is op de oorspronkelijke grondvesten. Ook voor de molen van Beerse (CAI nr. 951960) geldt een datering voor het einde van de achttiende eeuw.

#### 3.2.2 Proefsleuven

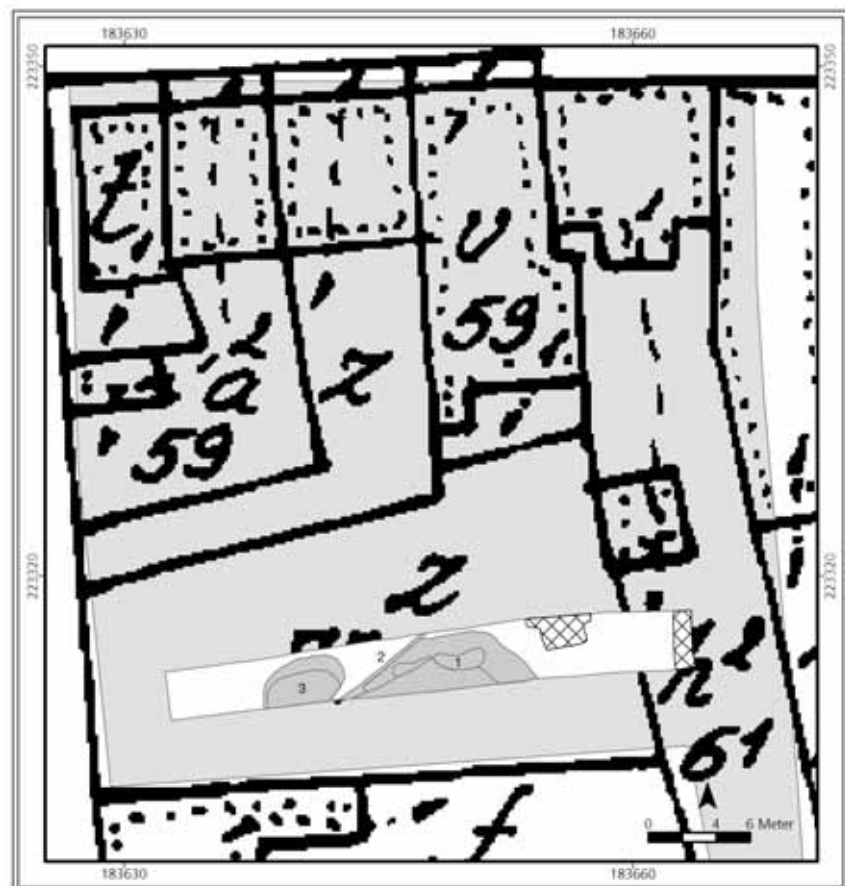
Op 19 november 2008 is op het plangebied van Beerse-Lindenlaan door de Archeologische dienst Antwerpse Kempen (AdAK) een archeologisch vooronderzoek uitgevoerd. Bij deze prospectie werd een proefsleuf aangelegd op het achterplan van de bestaande bewoning, teneinde de archeologische waarde van het gebied in te schatten. Door de aanwezigheid van de bestaande bebouwing, die voorafgaand diende te worden gesaneerd van asbest, kon slechts een beperkt deel van de totale oppervlakte worden bekeken.

Tijdens het onderzoek bleek dat de proefsleuf zich reeds op de flank van de microcuesta bevond richting de vallei van de Laakbeek. Hierdoor bevond zich een dikke afdekkende laag bovenop de ongeroerde bodem. Tijdens het opschaven van het vlak werden talrijke scherven aangetroffen in een afdekkend zandpakket, dat vermoedelijk afgegleden is van de top.



Figuur 3.2. Overzicht van de sporen in wp 1 tijdens het proefsleuvenonderzoek

Hieronder werden en drietal sporen vastgesteld, waarvan twee waterputten en één oversnijdende greppel. Beide waterputten werden tot op een beperkte diepte gecoupeerd ter evaluatie. Hierbij bleek spoor 1 eerder een waterkuil te zijn, waarbij een reeds aanwezige lokale depressie was geaccentueerd.



Figuur 3.3. Sporenkaart van de proefsleuf.

In de vulling werden verschillende pakketten aangetroffen, waarin zich verschillende scherven van gedraaid Romeins aardewerk bevonden. Spoor 3 bleek eerder een echte waterput, waarbij voornamelijk handgevormd aardewerk uit de vulling kon worden verzameld.

Deze structuren en de talrijke vondsten deden de aanwezigheid van een nederzetting uit de IJzertijd of de Romeinse periode vermoeden, zodat de totale oppervlakte (ongeveer 1100 m<sup>2</sup>) van de geplande bebouwing werd geselecteerd voor verder onderzoek.

## 4 Onderzoeksstrategie

### 4.1 Methoden en technieken

Aan de hand van de densiteit van de sporen, geattesteerd op de relatief beperkte oppervlakte van de proefsleuf, werd een L-vormige werkput van ongeveer 35 m bij 35 m aangelegd, die de gehele oppervlakte van de bouwput van Beerse-Lindenlaan beslaat. Tijdens de aanleg van de werkput kon de noordelijke zone niet volledig vrijgelegd worden, wegens de obstructie door bouw materiaal.



Figuur 4.1. Overzicht van de noordelijke zone van werkput 5.

De opzet betrof het definitief onderzoek van de archeologische resten die door de geplande bouwwerken zouden worden verstoord. Hiertoe werd de teelaarde met behulp van een graafmachine met gladde bak verwijderd, waarbij de uiteindelijke onderzochte oppervlakte van de werkput 769 m<sup>2</sup> bedroeg.



Bij het machinaal afgraven werd het aangelegde vlak opgeschaafd met de schop, waarbij de archeologische sporen en vondsten gemarkeerd en genummerd werden.

#### 4.2 Dataregistratie

De aangelegde werkput, de sporen en de losse vondsten tussen de sporen werden op watervast polyesterfolie in het vlak ingetekend op schaal 1/50. De archeologische sporen en losse vondsten werden opgenomen in een sporenlijst en ingemeten in de hoogte. De vaste meetpunten en de referentiepunten werden met een totaalstation ingemeten en naar Lambert-coördinaten gerefereerd. Het inmeten van de punten gebeurde door beëdigd landmeter Raeymakers uit Beerse.



Figuur 4.2. Allesporenkaart van het archeologisch onderzoek aan de Lindelaan in Beerse

Alle sporen en losse vondsten zijn met overzichtsfoto's in het vlak digitaal gefotografeerd. Alle coupes en profielen zijn gefotografeerd. De coupes zijn ingetekend en beschreven op een watervast polyesterfolie op schaal 1/10, met uitzondering van de natuurlijke sporen.

## 5 Resultaten

### 5.1 Sporen en structuren

Tijdens de archeologische opgraving werden in totaal negen sporen en losse vondsten gedocumenteerd, waaronder een paalkuil met kern, een afvalkuil, een waterkuil, twee waterputten, twee losse vondsten en een natuurlijke verstoring.

#### 5.1.1 Ruimtelijke spreiding

De recente archeologische sporen concentreren zich, net zoals talrijke recente verstoringen, in het noordelijke en het centrale gedeelte van het terrein. Een afvalkuil (SP 11), paalkuil met kern (SP 5) en een recente bakstenen waterput (SP 6) worden gerelateerd aan de voormalige bewoning langs de Lindenlaan.



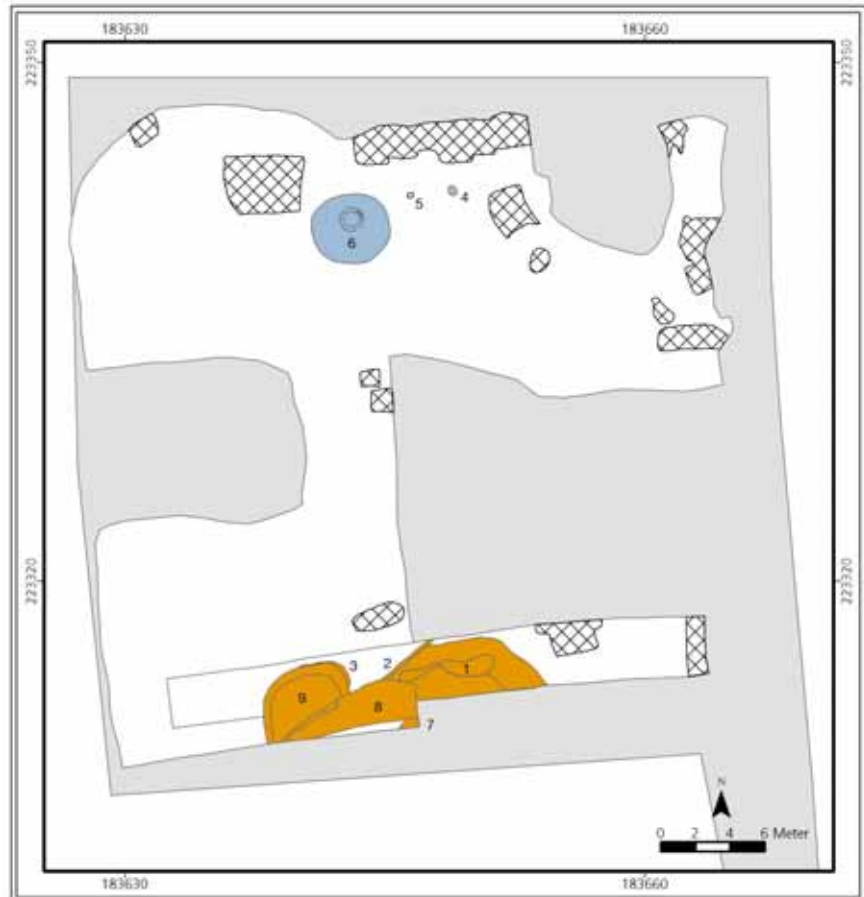
Figuur 5.1. Overzicht van de recente waterput tijdens de aanleg van het vlak.

Dit in tegenstelling tot de zuidelijke zone van de werkput, waar de sporen die gekend zijn uit het proefsleufonderzoek opnieuw vrijgelegd zijn in het aanlegvlak. Deze waterkuil (SP 7 en 8) en waterput (SP 9) zijn gelegen in een lokale depressie, welke getuigt van opvulling door stuifzand, mogelijk afkomstig van de top. Aan de hand van de vondsten, worden deze sporen gedateerd vanaf de Late IJzertijd tot de Midden-Romeinse periode.

#### 5.1.2 Gaafheid en conservering

De bewaring van de sporen in de noordelijke zone van de werkput was beperkt, wegens de verstoring door de toenmalige bewoning. De sporen in de

zuidelijke zone waren evenwel afgedekt door een zandpakket afkomstig van verstuingen of verschuivingen van zand van op de top naar de flank toe en door het gebruik als tuin weinig verstoord in het vlak.



Figuur 5.2. Faseringskaart van de archeologische sporen. Blauw: nieuwe tijd; oranje: Romeinse tijd.

### 5.1.3 Periodes en sites

Alle archeologisch relevante sporen dateren slechts uit één periode, namelijk de Romeinse tijd. Deze bevonden zich in de zuidoostelijke hoek van de opgraving. Het gaat hier om een grote ovale waterkuil, die een ovaalvormige waterput oversnijdt. De sporen bevinden zich in het laagst gelegen gedeelte van het terrein, op de overgang van de top naar de steile flank van de microcuesta. Beide sporen werden ook reeds tijdens het proefsleuvenonderzoek vastgesteld. Aanvankelijk waren de verschillende vullingspakketten als aparte sporen aangeduid, maar dit bleek tijdens het couperen niet het geval te zijn.

Algemeen gesteld kennen de waterkuil en de waterput een diffuse aflijning in het vlak, in tegenstelling tot de scherp afgelijnde vorm in profiel. De maximale diepte van de waterkuil bedraagt 88,5 cm en de waterput is tot 107 cm diepte onderzocht.

De waterput (S3/S9) was vrij duidelijk afgelijnd in het vlak en meet ongeveer 5,35 m diameter, hoewel de lengte niet volledig in het vlak kon worden vastgesteld. In het vlak waren twee vulpakketten zichtbaar, namelijk een zwartgrijze rand en een grijsbruine navulling. Een duidelijke kern leek echter niet meer aanwezig.



Figuur 5.3. Overzicht van de waterput (rechts) en de waterkuil (links) in het vlak van de zuidelijke zone.

Het profiel van de waterput (SP 9) toont een sterke gelaagdheid van de opvulling met in de zuidelijke hoek de oversnijding door de waterkuil of greppel. De humeuze en houtskoolrijke donkere lagen worden begrensd door grijze tot witte zandige lagen, wat wijst op een afwisseling van trage en snelle inspoeling van het spoor. Het merendeel van de vondsten is afkomstig uit de humeuze lagen van de vulling.



Figuur 5.4. Profiel van de waterput.

Tijdens de aanleg van het vlak en uit de vulling van de waterput zijn talrijke vondsten verzameld. Met uitzondering van een brokje verbrande leem en een klomp ijzerslak, gaat het grotendeels om scherven aardewerk (77 fragmenten). In het profiel is uit de C-horizont ook een vuursteenknol met



cortex verzameld. Aan de hand van het aardewerk kan vermoed worden dat de waterput mogelijk dateert uit de vroeg-Romeinse periode.

De waterkuil (SP 7 en 8) oversnijdt de zuidoostelijke zijde van de waterput (SP 9). Het profiel toont een gelaagde opvulling, die er mogelijk op wijst dat na de snelle inspoeling in de bodem, de constructie enige tijd onderhouden is geweest, gezien de donkere band van lemig zand boven deze laag. Tenslotte lijkt de wit met grijs gevlekte laag een indicatie te zijn voor een relatief snelle inspoeling van deze waterkuil of greppel, waarna een ondiep restant nog enige tijd behouden bleef.



Figuur 5.5. Profiel van de zuidelijke sleufwand en de waterkuil, met een duidelijke stuifzandafdekking van het spoor.

Ook uit dit spoor is tijdens de aanleg van het vlak en uit de vulling een grote hoeveelheid vondsten verzameld, waaronder 65 aardewerkscherven, vier fragmenten bouwkeramiek, twintig ijzerslakken, twee stenen fragmenten en vijf brokjes verbrande leem. Het merendeel van deze vondsten is afkomstig uit de bovenste lagen en kan aan de hand van de datering van het aardewerk vermoed worden dat de waterkuil of greppel waarschijnlijk in gebruik is geweest van de vroege tot midden-Romeinse periode.

## 5.2 Vondsten

Tijdens het archeologisch onderzoek aan de Lindenlaan in Beerse zijn 144 fragmenten aardewerk verzameld. Daarnaast zijn nog twee glazen flessen, vier fragmenten bouwkeramiek, een fragment van een kleipijp, een brok silex, twee fragmenten natuursteen en zes brokjes verbrande leem teruggevonden. Aangezien het leeuwendeel van het materiaal afkomstig is uit de waterput of de waterkuil, is geopteerd om deze vondsten per spoor te analyseren.

	Rand	Bodem	Hals	Wand	Gruis	Totaal	%
IJzertijd	0	2	0	29	24	55	39%
IJzertijd/Romeins	4	0	0	20	37	61	43%
Romeinse periode	5	1	0	18	2	26	18%
Totaal	9	3	0	67	63	142	100%
%	6%	2%	0%	47%	44%	100%	

Tabel 5.6. Overzicht van het aardewerk per periode

Het aardewerk kan op basis van het baksel worden verdeeld onder handgevormde waar (116 fragmenten) enerzijds en gedraaid Romeins aardewerk (26 fragmenten) anderzijds, waarbij twee recente randscherven (V044) niet opgenomen worden. Het merendeel van het gedraaid aardewerk is daarentegen afkomstig uit de waterkuil. In de waterput bevonden zich alleen fragmenten van dolia.

Waterput S3/S9	Rand	Bodem	Hals	Wand	Gruis	Totaal	%
Handgevormd	1	1	0	29	35	66	89%
Romeins gedraaid	1	1	0	5	1	8	11%
Totaal	2	2	0	34	36	74	100%
%	3%	3%	0%	46%	49%	100%	

Tabel 5.7. Overzicht van het aardewerk per periode, verzameld uit de waterput.

De verhouding tussen het aandeel handgevormd aardewerk en het aandeel en soort Romeins gedraaid aardewerk tussen de waterput en de waterkuil lijkt de relatieve chronologie tussen beide sporen te bevestigen, namelijk dat de waterkuil jonger is dan de waterput.

Waterkuil S1/S8	Rand	Bodem	Hals	Wand	Gruis	Totaal	%
Handgevormd	3	1	0	18	25	47	72%
Romeins gedraaid	4	0	0	13	1	18	28%
Totaal	7	1	0	31	26	65	100%
%	11%	2%	0%	48%	40%	100%	

Tabel 5.8. Overzicht van het aardewerk per periode, verzameld uit de waterkuil.

### 5.2.1 Handgevormd aardewerk

In totaal werden 116 fragmenten van handgevormd aardewerk verzameld. Van het totaal aan handgevormd aardewerk kunnen 113 fragmenten aan de waterput of de waterkuil gerelateerd worden en drie fragmenten zijn als een losse vondst geregistreerd. Het aangetroffen handgevormd aardewerk is in weze afkomstig uit een Romeinse context, waardoor we ervan kunnen uitgaan dat het hier gedeeltelijk om handgevormd Romeins materiaal gaat. Bovendien moet worden gezegd dat een groot deel van de scherven secundair was verhit, hetgeen de determinatie niet vergemakkelijkt.

Tijdens de determinatie is daarom sterk gelet op elementen die een duidelijk onderscheid mogelijk maken tussen handgevormd aardewerk uit de ijzertijd

en deze uit de Romeinse periode. Door het ontbreken van duidelijke profielen en door een sterke fragmentatie van het aardewerk was dit evenwel niet evident.

Tabel 5.9. Verhouding tussen de wandafwerking en de verschraling bij het handgevormd aardewerk

	Glad	Geëffend	Ruw	Besmeten	Onbekend	Totaal	%
PG	0	2	1	3	0	6	5%
PG+ZND	8	26	11	41	3	89	77%
PG, ZND, ORG	0	0	0	2	0	2	2%
ZND+PG	2	4	3	9	1	19	16%
Totaal	10	32	15	55	4	116	100%
%	9%	28%	13%	47%	3%	100%	

Algemeen valt bij de wandafwerking het ontbreken van gepolijste scherven op. Tevens komt uit de vergelijking van de wandafwerking en de magering naar voor dat het merendeel van de scherven was gemagerd met een combinatie van potgruis en zand, iets wat typisch is voor de late ijzertijd en de vroeg-Romeinse periode (Van den Broeke 1987b; 2005).

Opvallend daarentegen is de grote hoeveelheid besmeten scherven, waaronder enkele grotere fragmenten. Normaliter neemt het percentage besmeten scherven af naar ca. 5 % het einde van de ijzertijd toe, terwijl deze hier bijna de helft van het totaal aantal scherven uitmaakt. Derhalve kan niet worden uitgesloten dat een gedeelte van de scherven in beide contexten als opspit hierin terecht gekomen zijn.

Tabel 5.10. Verhouding tussen de wandafwerking en de verschraling bij het handgevormd aardewerk uit waterput S3/S9

	Glad	Geëffend	Ruw	Besmeten	Onbekend	Totaal	%
PG	0	1	0	3	0	4	8%
PG+ZND	3	10	5	33	0	51	77%
PG, ZND, ORG	0	0	0	1	0	1	1%
ZND+PG	1	3	1	5	0	10	14%
Totaal	4	14	6	42	0	66	100%
%	5%	30%	8%	57%	0%	100%	

Een vergelijking tussen de waterput en de waterkuil levert een duidelijke verschuiving op van het aantal besmeten scherven van 57 % naar 23%, voornamelijk ten voordele van de geëffende en de ruwwandige scherven. De verhouding van de verschralingscomponenten blijft dan weer vergelijkbaar.

Tabel 5.11. Verhouding tussen de wandafwerking en de verschraling bij het handgevormd aardewerk uit waterkuil S1/S8

	Glad	Geëffend	Ruw	Besmeten	Onbekend	Totaal	%
PG	0	1	1	0	0	2	4%
PG+ZND	5	16	6	6	3	36	77%
PG, ZND, ORG	0	0	0	1	0	1	2%
ZND+PG	0	1	2	4	1	8	17%
Totaal	5	18	9	11	4	47	100%
%	11%	38%	19%	23%	9%	100%	

Versiering op de scherven zijn nagenoeg afwezig. Slechts op één wandscherf uit waterput S9 werd groeflijnsversiering vastgesteld. Deze versiering komt vaak voor in de late ijzertijd waar deze normaal tot op 50 % van het aardewerk voorkomt, maar neemt terug af naar de Romeinse tijd toe (Van den Broeke 1987 a).

Geen van de randscherven uit een van beide contexten was groot genoeg om een relevant profiel op te leveren, dat een nadere datering of vormvergelijking mogelijk maakt.

### 5.2.2 Romeins gedraaid aardewerk

Het merendeel van het Romeinse gedraaid aardewerk is afkomstig uit de waterkuil (S1/S8). Ondanks het beperkte aantal scherven is nagenoeg het volledige spectrum van het regionaal voorkomende Romeinse gedraaide aardewerk vertegenwoordigd. Zowel de fijnere aardewerkvormen (terra sigillata, terra nigra, beschilderd aardewerk) als het meer gewone aardewerk (Tiens, Eifelwaar, Waaslands) en fragmenten van dolia komen voor.

Baksel	R	B	H	W	G	Totaal	%
Terra sigillata	-	-	-	1	-	1	4%
Terra nigra	-	-	-	1	-	1	4%
Beschilderd rood (Trier)	-	-	-	1	-	1	4%
Tiens	-	-	-	3	-	3	12%
Eifelwaar	1	-	-	1	-	2	8%
Waaslands grijs	1	-	-	1	-	2	8%
Waaslands rood	-	-	-	5	-	5	19%
Dolium	2	1	-	7	1	11	42%
Totaal	4	1	0	20	1	26	100%
	15%	4%	0%	77%	4%	100%	

Tabel 5.12. Overzicht van het gedraaide Romeinse aardewerk

Het gros van de doliumfragmenten is afkomstig uit waterput S3/S9 (8 stuks), die hierin de enige fragmenten van Romeins importaardewerk betreffen. Opvallend is dat bij de doliumfragmenten uit de waterput zowel scherven met een witte potgruismagering als scherven met een orangerode potgruismagering voorkomen. De fragmenten uit de waterkuil hadden alle een orangerode verschroming. Dit bevestigt ook de oudere datering van de waterput ten opzichte van de waterkuil (Delaruelle, Verbeek en De Clercq 2004: 245).

Algemeen gesteld lijkt de waterput S3/S9 in de vroeg-Romeinse tijd te kunnen worden geplaatst (1<sup>ste</sup> eeuw v. Chr), terwijl de waterkuil eerder in de 2<sup>de</sup> of begin 3<sup>de</sup> eeuw kan worden gedateerd.



## ***6 Conclusie***

Naar aanleiding van de bouw van een meergezinswoning met commerciële ruimten en een ondergrondse parkeergarage op de hoek van de Lindelaan en de Melkerijstraat in Beerse werd archeologisch proefsleuvenonderzoek uitgevoerd door AdAK op 19 november 2008. Op de beperkte onderzochte oppervlakte werden de sporen aangetroffen van twee waterputten. Op basis van deze resultaten werd besloten de bouwput vlakdekkend op te graven na de sanering en afbraak van de bestaande bebouwing.

Tijdens de opgraving, die werd uitgevoerd door een projectteam van AdAK tussen 22 februari tot en met 24 februari 2010, konden slechts een beperkt aantal sporen bijkomend worden vastgesteld in de bouwput. Wel bleek dat er een sterk uitgesproken hoogteverschil bestond tussen het zuidelijke gedeelte van het terrein en het noordelijke gedeelte, dat gerelateerd is aan de microcuesta. Ter hoogte van de lagere terreingedeeltes, waar ook de waterputten zich bevonden, was het oorspronkelijke niveau afgedekt door een verstoven of afgegleden pakket zand. De hogere gedeeltes van het terrein daarentegen waren grotendeels verstoord en afgetopt door de vroegere bebouwing, zodat hier alleen nog recentere sporen konden worden vastgesteld.

Tijdens het onderzoek van beide archeologisch relevante sporen kon worden vastgesteld dat het hier enerzijds om een ovale waterput gaat, die op zijn beurt wordt oversneden door een grotere waterkuil. Op basis van aardewerkvondsten in de vulling konden beide sporen in de Romeinse tijd worden gedateerd. In de waterput bevond zich een groot aandeel aan handgevormde scherven naast verschillende fragmenten van dolia, die eerder een datering in de vroeg-Romeinse periode doen vermoeden. Het aardewerk uit de waterkuil vertoont nagenoeg het volledige spectrum aan gedraaid Romeins aardewerk dat in deze regio voorkomt, op basis waarvan eerder een datering in de 2<sup>de</sup> of begin 3<sup>de</sup> eeuw kan worden vermoed.

Dit geeft aan dat in de omgeving van het plangebied, met name de hogergelegen gedeeltes, een meerfasige nederzetting uit de Romeinse tijd kan worden verwacht.

## 7 Bibliografie

DELARUELLE S., VERBEEK C. & DE CLERCQ W. 2004, Leven en wonen op het HSL-traject in de Romeinse tijd (circa 50 v. C.- 476 n. C.) In: VERBEEK C., DELARUELLE S. & BUNGENEERS J., 2004. *Verloren voorwerpen. Archeologisch onderzoek op het HSL-traject in de provincie Antwerpen*, Antwerpen: 115-176.

MIENTJES A. C. 2005. *Opmaken en evalueren van de archeologische inventaris in het kader van het opstellen van het ruilverkavelingsplan voor de ruilverkaveling in onderzoek Malle-Beerse*. RAAP-Rapport 1195.

VAN DEN BROEKE, P.W. 1987A. De dateringsmiddelen voor de ijzertijd in Zuid-Nederland, in W.A.B. van der Sanden/P.W. van den Broeke (eds.), *Getekend Zand: tien jaar archeologisch onderzoek in Oss-Ussen, Waalre* (Bijdragen tot de studie van het Brabants Heem 31):23-43 .

VAN DEN BROEKE, P.W. 1987B. Oss-Ussen: het handgevormd aardewerk, in W.A.B. van der Sanden/P.W. van den Broeke (eds.), *Getekend Zand: tien jaar archeologisch onderzoek in Oss-Ussen, Waalre* (Bijdragen tot de studie van het Brabants Heem 31):101-119 .

VAN DEN BROEKE, P.W. 2005. Catalogus van vondsten- Het handgevormde aardewerk uit de Romeinse tijd. In: H. VAN ENCKEVORT & J. THIJSSSEN (red.). *In de schaduw van het Noorderlicht. De Gallo-Romeinse tempel van Elst-Westeraam*. Nijmegen: 101-106.

## 8 Lijst van figuren

Figuur 1.1. Situering van het plangebied tussen Lindenlaan en Melkerijstraat te Beerse.....	5
Figuur 2.1. Situering van het centrum van Beerse op het Digitaal Hoogtemodel.....	6
Figuur 2.2. Bodemkundige opname van de drainageklasse in het plangebied..	7
Figuur 2.3. Bodemkundige opname van de profielontwikkeling in het plangebied.....	8
Figuur 2.4. Profiel van de oostelijke sleufwand, ter hoogte van de proefsleuf..	8
Figuur 3.1. Situering van het plangebied op de kaart van Vandermaelen (ca. 1846).....	9
Figuur 3.2. Overzicht van de sporen in wp 1 tijdens het proefsleuvenonderzoek.....	11
Figuur 3.3. Sporenkaart van de proefsleuf.....	11
Figuur 4.1. Overzicht van de noordelijke zone van werkput 5.....	12
Figuur 4.2. Allesporenkaart van het archeologisch onderzoek aan de Lindelaan in Beerse.....	13
Figuur 5.1. Overzicht van de recente waterput tijdens de aanleg van het vlak.....	14
Figuur 5.2. Faseringskaart van de archeologische sporen. Blauw: nieuwe tijd; oranje: Romeinse tijd.....	15
Figuur 5.3. Overzicht van de waterput (rechts) en de waterkuil (links) in het vlak van de zuidelijke zone.....	16
Figuur 5.4. Profiel van de waterput.....	16
Figuur 5.5. Profiel van de zuidelijke sleufwand en de waterkuil, met een duidelijke stuifzandafdekking van het spoor.....	17
Tabel 5.6. Overzicht van het aardewerk per periode.....	18
Tabel 5.7. Overzicht van het aardewerk per periode, verzameld uit de waterput.....	18
Tabel 5.8. Overzicht van het aardewerk per periode, verzameld uit de waterkuil.....	18
Tabel 5.9. Verhouding tussen de wandafwerking en de verschraling bij het handgevormd aardewerk.....	19
Tabel 5.10. Verhouding tussen de wandafwerking en de verschraling bij het handgevormd aardewerk uit waterput S3/S9.....	19
Tabel 5.11. Verhouding tussen de wandafwerking en de verschraling bij het handgevormd aardewerk uit waterkuil S1/S8.....	19
Tabel 5.12. Overzicht van het gedraaide Romeinse aardewerk.....	20

## 9 Lijst van bijlagen

*Bijlage 1. Sporenlijst*

*Bijlage 2. Vondstenlijst*

*Bijlage 3. Monsterlijst*

*Bijlage 4. Determinatielijst aardewerk*

*Bijlage 5. Kaarten*

## ***Bijlagen***

***Bijlage 1. Sporenlijst***

***Bijlage 2. Vondstenlijst***

***Bijlage 3. Monsterlijst***

***Bijlage 4. Determinatielijst aardewerk***

***Bijlage 5. Kaarten***



WP	Spoor	Vlak	Afmetingen vlak		Vorm	Afmetingen coupe		Vulling	Inclusies	Kleur	Interpretatie	Datering	Vondstnr.
			Lengte	Breedte		Breedte	Diepte						
1	1	1	730	235	ORM	880	80	ZMF/ZF	KER	GR/BR/WI	WAP	ROM	v2, v5, v7, v8
1	2	1	320	20	LIN	-	-	ZMF		GR/BR/WI	GRE	ROM	v4
1	3	1	330	520	OVL	280	80	ZMF	KER	GR/BR/WI	WAP	ROM	v1, v3, v6
2	4	1	55	52	OVL	53	18	ZMF		PA/BE/OR/WI	NAT	XXX	
2	5	1	31,5	28,5	RH	28	12,5	ZMF/ZL	AW	GR/PA/WI	PGK	REC	v55
2	6	1	136	128	RND	-	-	ZL	KBW	BR/GR	WAP	REC	
2	7	1	75	65	LIN	-	-	ZMF	KER	GR/WI	GRE	ROM	v21
2	8	1	730	235	ORM	247	168	ZMF/ZF	KER	GR/BR/WI	WAP	ROM	v11-15; v18-19; v22; v24-26; v33-35; v37-42; v45-50
2	9	1	420	520	OVL	360	107	ZMF	KER, HK	GR/BR/WI	WAP	ROM	v10, v20, v27-32, v36, v43
2	10	1	-	-	-	-	-	-	-	-	LV	-	v17
2	11	1	400	140	ORM	-	-	ZMF	GLS	GR	KLA	REC	v9
2	12	1	-	-	-	-	-	-	-	-	LV	-	v23





Vondst nr.	WP	Spoor	Vlak	Vak	Profiel	Laag	Categorie	Aantal	Datering
1	1	3	1				KER	8	IJZ/ROM
2	1	1					MTL	6	XXX
3	1	3	1			ZWARTE BUITEN-STE LAAG	KER	14	IJZ
4	1	2	1				KER	1	XXX
5	1	1	1			2	KER	2	ROM
6	1	3	1			KERN	KER	4	ROM
7	1	1	1				MTL	3	XXX
8	1	1	1				KER	13	ROM
9	2	11	1				GLS	2	REC
10	2	9	1		1	10 (noord)	KER	26	IJZ/ROM
11	2	8	1				SLK	4	XXX
12	2	8	1				KER	15	ROM
13	2	8	1				KBW	1	XXX
14	2	8	1				KER	1	IJZ
15	2	8	1		1	2	KER	6	IJZ/ROM
16	2				oostwand		KPY	1	REC
17	2	10 LV	1				KER	1	IJZ/ROM
18	2	8	1				KER	1	ROM
19	2	8	1				VKL	1	XXX
20	2	9	1		1	5	KER	13	ROM
21	2	7	1				KER	1	ROM
22	2	8	1		3	4-5	KER	2	IJZ/ROM
23	2	12 LV	1				KER	2	IJZ
24	2	8	1		3	5	STN	1	XXX
25	2	8	1		3	5	KER	1	IJZ/ROM
26	2	8	1		3	4	KER	1	IJZ/ROM
27	2	9	1		1	12	KER	1	IJZ
28	2	9	1		1	8	KER	2	IJZ/ROM
29	2	9	1		1	6	KER	1	IJZ
30	2	9	1		1	14	KER	4	IJZ
31	2	9	1		1	5	KER	1	IJZ
32	2	9	1		1	7	VKL	1	XXX
33	2	8	1		3	4	KER	4	ROM
34	2	8	1		3	4	KER	1	IJZ/ROM
35	2	8	1				SLK	5	XXX
36	2	9	1		1	C-horizont	SLX	1	XXX
37	2	8	1		1	2	KER	1	IJZ
38	2	8	1		1	2	SLK	1	XXX
39	2	8	1		2	2	KER	13	ROM
40	2	8	1		2	2	KBW	1	ROM
41	2	8	1				STN	1	XXX
42	2	8	1				KER	1	ROM
43	2	9	1		1	5	SLK	1	XXX
44	2	5	1				KER	2	REC
45	2	8	1		3	5	KER	1	IJZ
46	2	8	1		3	5	KBW	1	XXX
47	2	8	1		3	5	SLK	1	XXX
48	2	8	1		3	4	KBW	1	XXX
49	2	8	1		3	4	VKL	3	XXX
50	2	8	1				VKL	1	XXX



Vondst nr.	WP	Spoor	Vlak	Vak	Profiel	Laag	Categorie	Aantal	Onderzoek
1	2	8	1		2	2	HK		C14
2	2	8	1		1	2	HK		C14
3	2	9	1		1	10	HK		C14
4	2	9	1		1	14	HK		C14
5	2	9	1		1	14	HK		C14



Vondstnr	Spoor	R	B	H	W	G	AW	Vorm	Type	Datering	magering	korrel	% mag	versiering	plaats	AFM.	Dikte	GEW.	diam.	verbrand	kleur	opmerking	Getekend
1	3					1	23			?	07/01	FF				1	0,8	3,0		03	GR	zandig baksel	
1	3					1	24			?	01/07	FF				1	1,4	8,5		03	GR		
1	3					2	25			IJZ	01/07	FF				1		11,5		03	GR		
1	3	1					41	24		ROM	01	MF				4	1,4	25,5			GR/BE	wite incl	
1	3				1		41			ROM	01/07	MF				4	1,1	7,5			GR/BE		
1	3				1		41			ROM	01/07	MF				3	1,4	8,5			GR/BE		
1	3					1	41			ROM	01/07	MF				1	0,7	2,5			BE/GR		
3	3				1		23			?	01	FF/MF				4	0,8	8,5		03	GR/BE		
3	3					1	23			?	01/07	FF				1		2,0		03	GR		
3	3				1		24			?	01/07	FF				3	1,1	6,0		02	GR/BE		
3	3					1	24			?	01/07	FF/MF				1	1,1	3,75		02	GR/RZ		
3	3					1	24			?	07/01	FF				1		2,0		03	GR	zandig baksel, verglaasd	
3	3		1				25			IJZ	01	MF/MG		31	05	4	1,3	51,0	10	03	GR/RZ		
3	3				1		25			IJZ	01	FF/MF		31	05	1	0,9	3,0		03	GR/BE		
3	3				1		25			IJZ	01/07	FF/MF		31	05	2	1,0	4,5		02	GR/OR		
3	3				1		25			IJZ	01/07	FF		31	05	4	0,9	9,0		03	GR		
3	3				1		25			IJZ	01/07	FF		31	05	3	0,9	8,5		03	GR		
3	3				1		25			IJZ	01/07	FF		31	05	3	0,9	6,0		02	GR/BE		
3	3					1	25			IJZ	01/07	FF/MF		31	05	1	1,5	3,0		03	RO		
3	3				1		25			IJZ	01/07	FF		31	05	2	1,4	6,0		02	GR/BE		
3	3					1	25			IJZ	07/01	FF		31	?	2		4,5		02	RO	zandig baksel	
4	2					1	23			?	01/07	FF				1	0,4	1,0			GR/WI		
5	1				1		35			ROM	01/07	FF				3	0,6	4,0			BE/GR	gesmoord	
5	1				1		41			ROM	01/07/02	MF				5	1,5	40,5			OR/BE		
6	3					2	23			?	07/01	FF				1		3,5		03	GR	zandig baksel	
6	3				1		41			ROM	01/07	FF/MF				3	1,2	11,5			GR/BE		
6	3				1		41			ROM	01/07	FF				2	1,0	3,5			GR/RZ		
8	1	1					23			?	01	MF				3	0,8	7,0			BE/RZ		
8	1				1		23			?	01/07	FF/MF				3	0,9	10,0		02	GR/RZ		
8	1				1		23			?	01/07	FF				3	0,9	5,0		02	GR/BE		
8	1					1	24			?	01	FF/MF				1		1,5			GR/OR		
8	1					2	24			?	07/01	FF/MF				1		5,0		03	GR	zandig baksel	
8	1				1		25			IJZ	07/01	FF		31	05	3	1,2	6,0		03	GR	zandig baksel	
8	1				1		35			ROM		FF		12	05	4		3,5			WI/RZ		
8	1				1		35			ROM		FF				2	0,6	3,5			WI/RZ		
8	1	1					36	21	Oelman 87	ROM	05/01	FF/MF				5	0,8	28,0			WI/GE	tweede eeuw	
8	1					1	36			ROM	05/01	FF/MF				1	0,4	1,0			WI/GE	tweede eeuw	
8	1				1		38			ROM		FF				3	0,6	6,5			GR		
10	9				1		22			IJZ/ROM	01/07	FF/MF				1	0,8	1,5			BR/GR		
10	9				1		22			IJZ/ROM	07/01	FF		12	05	2	0,9	4,0		03	GR	zandig baksel	
10	9				1		23			IJZ/ROM	01/07	MF/MG				3	0,8	6,5			GR/BR		
10	9					18	25			IJZ	01/07	FF/MF		31	05	1		27,5		02-03	GR/OR		
10	9				1		25			IJZ	01/07	FF/MF		31	05	4	0,9	9,0		03	GR		
10	9				4		25			IJZ	01/07	FF/MF		31	05	2	< 1,2	18,0		03	GR		
12	8					1	22			IJZ/ROM	01/07	FF/MF				2		3,0			BR/OR		
12	8					1	23			IJZ/ROM	01/07	FF/MF				1	1,2	3,5		01	GR		
12	8					4	24			IJZ/ROM	01/07	FF/MF				1-3		19,0		02-03	GR/BR		

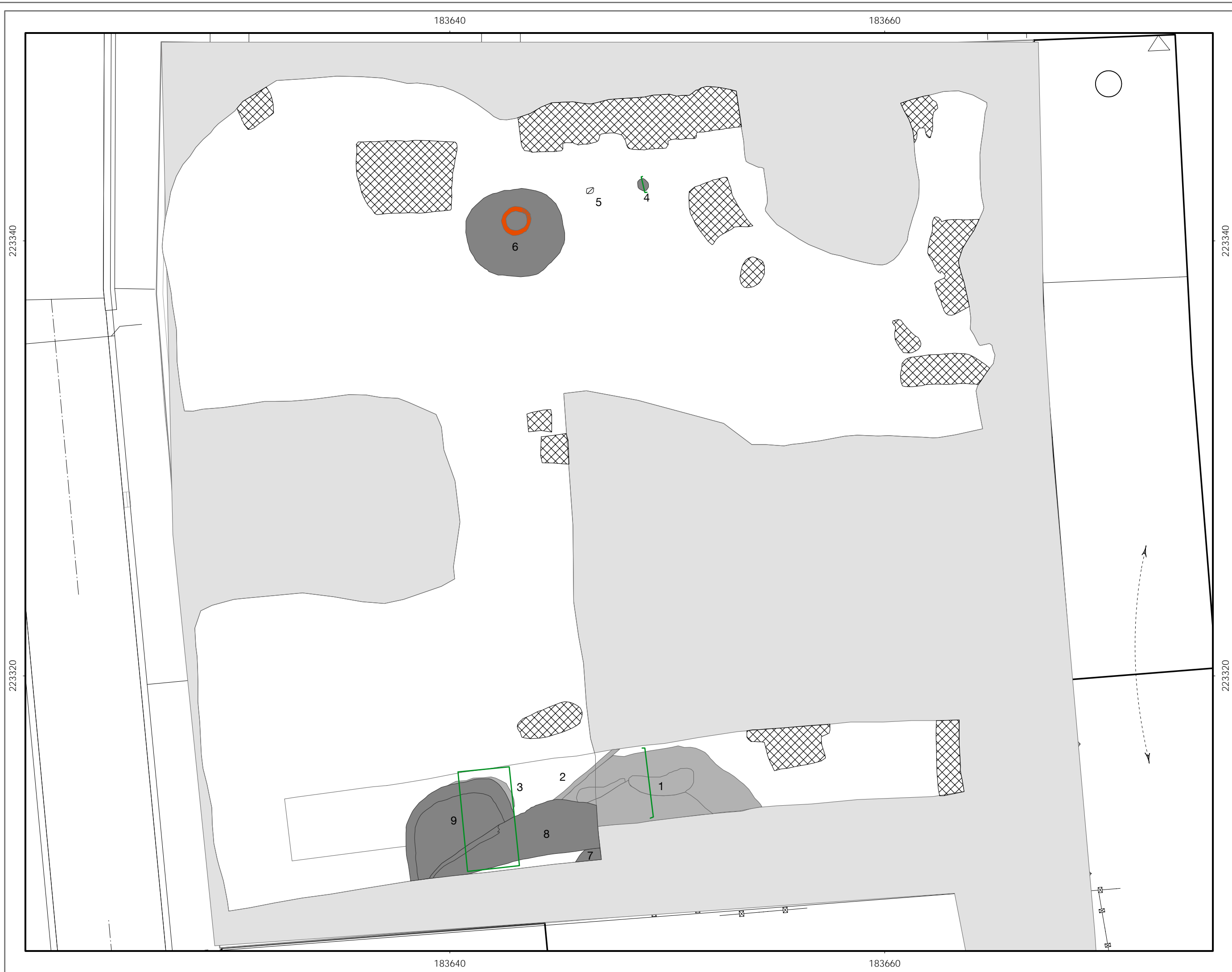


Vondstnr	Spoor	R	B	H	W	G	AW	Vorm	Type	Datering	magering	korrel	% mag	versiering	plaats	AFM.	Dikte	GEW.	diam.	verbrand	kleur	opmerking	Getekend
12	8				1		25			IJZ	01/07	FF/MF		31	05	5	1,2	42,5		01	GR/BR		
12	8				1		25			IJZ	01/07	FF/MF		31	05	4	1,1	13,5			BE		
12	8				1		25			IJZ	01/07	FF/MF		31	05	3	1,0	8,0		03	GR		
12	8				1		25			IJZ	01/07	FF/MF		31	05	3	1,1	6,5		03	GR		
12	8				1		25			IJZ	01/07	FF/MF		31	05	3	0,9	6,0		03	GR		
12	8				1		25			IJZ	01/07/02	FF/MF		31	05	3	1,0	7,0			BE/GR		
12	8	1					31	13		ROM		FF		17	05	4	0,8	6,5		02	RO	sterk verweerd, Ionische zuil-motief	
12	8				1		33	05		ROM		FF				3	0,5	2,5			RO/GR/ZW		
12	8				1		41			ROM	01	MF				2	0,9	3,5			RO/BE		
14	8				1		25			IJZ	07/01	FF/MF		31	05	4	1,4	16,5			BR/GR	zandig baksel	
15	8				1		22			IJZ/ROM	01/07	MF				3	0,7	6,5			BR/GR		
15	8				1		23			IJZ/ROM	01/07	MF				2	0,7	3,0			BE/GR		
15	8	1					23			IJZ/ROM	01/07	FF/MF				1	1,3	3,0			BE/OR		
15	8					1	23			IJZ/ROM	01/07	FF/MF				1	0,9	2,0			BE/RO		
15	8				1		23			IJZ/ROM	07/01	FF/MF				3	1,1	8,0		03	GR	zandig baksel	
15	8				1		25			IJZ	07/01	FF/MF		31	05	2	1,2	6,0		02	BR	zandig baksel	
17	10 LV				1		22			IJZ/ROM	07/01	FF/MF				3	0,9	5,5		03	GR/RZ	zandig baksel	
18	8				1		22			IJZ/ROM	01/07	FF/MF				4	1,2	23,5			GR/ZW	zeer glad aan buitenzijde, aanzet van hals?	
18	8				1		39			ROM		FF				2	0,5	1,5			OR		
20	9	1					22			IJZ/ROM	01/07	MF				2	0,9	3,0			OR		
20	9				1		22			IJZ/ROM	01/07	MF				1	0,7	2,0			GR/BR		
20	9				1		23			IJZ/ROM	01/07	FF/MF				3	1,0	10,0		02	GR/BE/RZ		
20	9					6	23			IJZ/ROM	01/07	FF/MF				1-2		14,0		02-03	GR/RO		
20	9				1		24			IJZ/ROM	01/07	FF/MF				4	1,1	26,5		02	GR/RZ		
20	9				1		24			IJZ/ROM	01/07	FF/MF				2	0,9	4,0		03	GR		
20	9		1				41	24		ROM	01	MF				2	0,7	4,0			GR		
20	9				1		41			ROM	01/07	FF/MF				3	0,9	10,0		01	GR/BE	aanzet rand of bodem	
21	7				1		39			ROM		FF				2	0,6	2,0			OR/GR	sterk verweerd	
22	8	1					22			IJZ/ROM	01/07	FF/MF				5	0,9	31,0	18		GR	peklaag aan buitenzijde, aanpassend aan V025	
22	8					1	23			IJZ/ROM	01/07	FF/MF				1	0,7	1,0			GR/BE		
23	12 LV				1		25			IJZ	01/07	FF/MF		31	05	1	1,1	3,0		02	BR/GR		
23	12 LV					1	25			IJZ	01/07	FF/MF		31	05	1		1,0		02	BR/GR		
25	8				1		22			IJZ/ROM	01/07	FF/MF				3	1,0	7,0			GR/BR	peklaag aan buitenzijde, aanpassend aan V045	
26	8					1	20			IJZ/ROM	07/01	FF/MF				2		5,5		03	GR	zandig baksel	
27	9				1		25			IJZ	01/07/02	FF		31	05	1	1,4	3,0		03	GR		
28	9				1		23			IJZ/ROM	01/07	FF/MF				4	1,1	14,5			BE	sterk verweerd	
28	9				1		25			IJZ	01/07	FF/MF		31	05	2	1,0	5,0		03	GR		
29	9				1		25			IJZ	01/07	FF/MF		31	05	2	1,0	3,5		03	GR		
30	9				1		25			IJZ	01	FF/MF		31	05	3	1,7	7,0			GR		
30	9				1		25			IJZ	07/01	FF/MF		31	05	3	0,9	7,0		02	GR/BE	zandig baksel	
30	9				2		25			IJZ	07/01	FF/MF		31	05	2	< 1,0	7,5		02	GR/BR	zandig baksel	
31	9				1		25			IJZ	07/01	FF/MF		31	05	3	1,1	8,5		03	GR	zandig baksel	
33	8				1		23			IJZ/ROM	01/07	FF/MF				3	0,7	6,0			GR/OR		
33	8				1		39			ROM		FF		16	05	2	0,6	2,5			OR/GR	beigekleurig slip	
33	8				1		39			ROM		FF				3	0,5	4,0			OR/GR		

Vondstnr	Spoor	R	B	H	W	G	AW	Vorm	Type	Datering	magering	korrel	% mag	versiering	plaats	AFM.	Dikte	GEW.	diam.	verbrand	kleur	opmerking	Getekend
33	8				1		39			ROM		FF				2	0,4	1,0			OR/GR		
34	8				1		20			IJZ/ROM	01/07	FF/MF				1		4,5			GR	sterk verweerd	
37	8					1	25			IJZ	07/01	FF/MF		31	05	1	1,4	4,0		03	GR	zandig baksel	
39	8					2	20			IJZ/ROM	01/07	FF/MF				1		2,0		02	BR/OR		
39	8					7	23			IJZ/ROM	01/07	FF/MF				1		9,0			BR/GR		
39	8					2	24			IJZ/ROM	01/07	FF/MF				1-2		8,0		02	BR/GR		
39	8				1		32			ROM		FF		12	05	3	0,4	2,5			GR/ZW		
39	8	1					38			ROM		FF		16/18	01	3	0,4	3,5			GR	verf aan de binnenzijde en reliëfband aan de buitenzijde	
42	8	1					41	24		ROM	01/07/02	MF/MG		12	01	5	1,4	64,0			BE/GR	rode incl	
44	5	2					76			REC						5	1,2	114,0	16	01	BE/OR		
45	8		1				25			IJZ	01/07	FF/MF		31	05	3	1,8	11,0		03	GR		

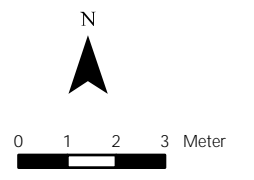
## Determinatietabel Aardewerk

	Baksel		Vorm		Versiering
	<b>Handgevormd</b>	00	Onbekend	01	Vingertop
20	Onbekend	01	<b>Pot</b>	02	Gepaarde vingertop
21	Gepolijst	02	Eenledig	03	Ongepaarde vingertop
22	Glad	03	Tweeledig	04	Dekkende vingertop
23	Geglad	04	Drieledig	05	Nagelindruk
24	Ruw	05	<b>Beker</b>	06	Gepaarde nagelindruk
25	Besmeten	06	Eenledig	07	Ongepaarde nagelindruk
26	Technisch	07	Tweeledig	08	Dekkende nagelindruk
		08	Drieledig	09	Spatelindruk
	<b>Romeins</b>	09	<b>Schaal</b>	10	Kamversiering
30	Onbekend	10	Eenledig	11	Strepenversiering
31	Terra sigillata	11	Tweeledig	12	Groeflijn
32	Terra nigra	12	Drieledig	13	Uitknijpingen
33	Beschilderd rood (Trier)	13	<b>Kom</b>	14	Wikkeldraadindruk
34	Beschilderd wit (Keulen)	14	Eenledig	15	Golfrand
35	Tiens	15	Tweeledig	16	Verf
36	Eifelwaar	16	Drieledig	17	Barbotineversiering
37	Bavai	17	Tas	18	Reliëfband
38	Waaslands grijs	18	Bord	19	Kerfsnee
39	Waaslands rood	19	Pot met hoge standvoet	20	Sgraffito
40	Pompejaans rood	20	Trechter	21	Doorboring
41	Dolium	21	Kookpot	22	Bezemstreek
42	Technisch	22	Deksel	23	Radstempel
43	Amfoor	23	Mortarium	24	Rolstempel
44	Pijpaarde	24	Dolium	25	Gittermuster
		25	Amfoor	26	Figuratieve radstempel
	<b>Middeleeuws</b>	26	Kruik	27	Schubbenversiering
50	Onbekend	27	Kogelpot	28	Figuratieve mal
51	Badorf	28	Eierpot	29	Bandoor
52	Mayen	29	Fles	30	Knoboor
53	Reliefbandamfoor	30	Kan	31	Besmijting
54	Gittermuster	31	Steelpan	32	Glazuur
55	Roodverschaald	32	Kruikamfoor	33	Golflijn
56	Roodbeschilderd	33	Olielamp	34	Verend mes
57	Maaslands	34	Lappenschaal	35	Eierlijst
58	Paffrath	35	Tuitpot	36	Horizontale reliëfribbels
59	Paffrath-achtig	36	Knikwandpot		
60	Schelpengemagerd	37	Roompot		<b>Plaats versiering</b>
61	Kogelpot	38	Pislot		
62	Kogelpot HME	39	Grape	01	Rand
63	Kogelpot VME	40	Vergiet	02	Hals
64	Proto-steengoed	41	Vorraadpot	03	Schouder
				04	Schouderovergang
	<b>Nieuwe Tijd</b>		<b>Magering</b>	05	Wand
70	Onbekend			06	Bodem
71	Bruingeglazuurd	01	Potgruis	07	Rand en schouder
72	Geelgeglazuurd	02	Plantaardig	08	Rand en wand
73	Groengeglazuurd	03	Kwarts	09	Rand en bodem
74	Roodgeglazuurd	04	Silex	10	Schouder en wand
75	Grijsbakkend	05	Natuursteen		
76	Roodbakkend	06	Verbrand been		
77	Steengoed	07	Zand		
78	Faïence	08	Schelp		
79	Majolica	09	Grind		
80	Porselein	10	Kalk		
81	Industrieel wit	11	IJzerconcretie		
82	Pijpaarde				



Legende

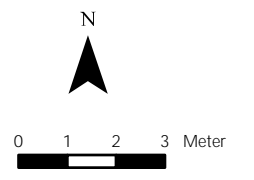
- Spoor
- Spoor PS
- Recent spoor
- Muur
- Coupelijn
- Verstoring
- Werkput
- Plangebied



Beerse-Lindelaan



- Legende**
- Spoor**
- NT
  - ROM
  - Recent spoor
  - Muur
  - Coupelijn
  - Verstoring
  - Werkput
  - Plangebied



Beerse-Lindelaan